

## چکیده

اغلب رویدادهای لرزه‌ای با پس‌لرزه‌های قابل توجه همراه هستند. این امر باعث می‌شود تا ساختمان‌هایی که در زمان وقوع رویداد اصلی دچار آسیب شده‌اند به دلیل کاهش ظرفیت و زوال در سختی و مقاومت، عملکردی کمتر از حد انتظار برای ساختمان در زمان وقوع پس‌لرزه بروز می‌دهند. یکی از عوامل مؤثر بر رفتار لرزه‌ای ساختمان‌ها ارتفاع سازه است که به طور مستقیم بر مشخصات دینامیکی اثر گذاشته و عملکرد لرزه‌ای ساختمان‌ها را متفاوت می‌کند. در این مطالعه اثر ارتفاع بر رفتار مورد انتظار ساختمان‌های بتن آرمه قاب خمسی در زمان مواجهه با دو رویداد لرزه‌ای متواالی به روش احتمالاتی بررسی شده است. به این منظور سه قاب خمسی ویژه ۴، ۸ و ۱۵ طبقه بر مبنای ویرایش چهارم استاندارد ۲۸۰۰ ایران طراحی شدند. تعریف توابع شکنندگی لرزه‌ای مشروط در این مقاله مورد استفاده قرار خواهد گرفت. توابع شکنندگی مشروط مقدار شکنندگی لرزه‌ای قاب موردنظر را به شرط رویداد سناریوی زلزله‌ی اول با بیشینه شتاب مشخص ارائه می‌کند. برای این کار مدل عددی این سه قاب در نرم افزار OpenSEES ایجاد شد. از ۲۰ جفت نگاشت رویدادهای لرزه‌ای متواالی در مطالعه بهره گرفته شد. معیار جابه‌جایی نسبی طبقه مطابق شرایط شماره ۳۶۰ سازمان برنامه و بودجه در ارزیابی تحلیل‌های غیرخطی فراینده مورد استفاده قرار گرفت. بر اساس این مطالعه، نتایج محاسبه شده برای پارامترهای تابع شکنندگی لرزه‌ای مشروط در قاب‌های با ارتفاع مختلف ارائه شده‌اند و میزان افزایش احتمال شکست برای ارتفاع‌های مختلف قاب در اثر سناریوهای مختلف رویداد اول ارائه گردید.

**واژگان کلیدی:** رویداد لرزه‌ای متواالی، تحلیل دینامیکی غیرخطی، ساختمان بتن آرمه، شکنندگی لرزه‌ای مشروط.

## نوع مقاله: پژوهشی

# توابع شکنندگی لرزه‌ای مشروط ساختمان‌های بتن آرمه قاب خمسی ویژه با ارتفاع‌های مختلف در معرض رویدادهای لرزه‌ای متواالی

## افشین کلانتری (نویسنده مسئول)

دانشیار، پژوهشکده مهندسی سازه، پژوهشگاه بین‌المللی زلزله‌شناسی و مهندسی زلزله، تهران، ایران، a.kalantri@iices.ac.ir

## حامد روح‌بخش

دانش‌آموخته کارشناسی ارشد، پژوهشگاه بین‌المللی زلزله‌شناسی و مهندسی زلزله، تهران، ایران

## ۱- مقدمه

غیرخطی بررسی کرد. مدل هیستوتیک استفاده شده در این پژوهش مدل دو خطی الاستو-پلاستیک کامل بدون زوال است. تحلیل با در نظر گرفتن اثر پی-دلتا در سختی کل سازه در طول زلزله انجام شده است. در این پژوهش از زلزله ماناگوا<sup>۱</sup> در سال ۱۹۷۲ با  $g = 0.351$  و  $PGA = 0.277$  g استفاده شده است. اثرات رویدادهای متواالی لرزه‌ای بر تغییر شکل‌های غیرخطی و ظرفیت شکل‌پذیری سازه بررسی شده است. بر اساس نتایج این پژوهش مطالعه‌ی تأثیر زوال سختی و مقاومت بر پاسخ سازه‌ها تحت لرزه

رویداد زلزله‌های نسبتاً شدید می‌توانند باعث بروز آسیب در اعضای سازه‌ای و غیرسازه‌ای ساختمان‌ها گردند. این بدان معناست که مشخصات رفتاری اعضا در صورت وقوع رویدادهای لرزه‌ای بعدی با رفتار مورد انتظار اولیه تفاوت خواهد داشت. این تفاوت باعث می‌شود تا شناخت رفتار احتمالی سازه تحت رویدادهای پس از یک لرزه‌ی نسبتاً شدید مورد مذاقه قرار گرفته و اطلاعات لازم برای طراحی ساختمان یا فرایندهای ارزیابی سریع پس از زلزله اول به دست آید.

ماهین [۱] تأثیر پس‌لرزه را به کمک تحلیل‌های لرزه‌ای

تأثیر دامنه پس لرزه بر مقدار خسارت است که بر اساس تابعی از خسارت ناشی از زلزله اصلی محاسبه شده است. هاتزیجور جیو و بسکوس [۶] یک روش مؤثر و ساده را برای تخمین ضربی جابه جایی غیر الاستیک یک سازه تحت توالی لرزه‌ای با چندین زلزله‌ی پی در پی ارائه کرده‌اند. در این پژوهش به منظور به دست آوردن مشاهداتی در مورد ضربی مذکور پارامترهای گوناگون از جمله دوره تناوب ارتعاشات، ضربی میرایی لزج، ضربی کشش- سخت‌شوندگی، ضربی کاهش نیرو و دسته‌بندی خاک‌ها را بررسی نمود. مدل سازه‌ای که تحقیقات مؤلفان مذکور بر روی آنها انجام گرفته بود یک سیستم الاستو پلاستیک تک درجه آزادی با سخت‌شوندگی یا نرم‌شوندگی خطی دارای میرای لزج بوده است. نتایج این پژوهش نشان داد افزایش در ضربی کاهش نیرو، همواره منجر به افزایش در ضربی جابه جایی غیر ارجاعی شده و بر عکس. به علاوه، مقادیر این ضربی به شدت به دوره تناوب سازه‌ای سیستم‌های یک درجه آزادی مخصوصاً در بازه‌ی دوره تناوب‌های کوتاه (با حداقل  $1/5$  ثانیه) بستگی دارد که در این حالت دوره تناوب‌های پایین‌تر، ضربی جابه جایی غیر الاستیک را بالاتر می‌برند. هاتزیجور جیو [۷] مطالعه‌ای در زمینه اثر رویدادهای لرزه‌ای متواالی بر سازه‌های بتی انجام داد. در این مطالعه از مدل اجزای سازه‌ای با فرض در نظر گرفتن رابطه دو خطی در منحنی لنگر- دوران در اتصالات تیر- ستون و اثر پی- دلتا استفاده شده است. مطابق نتایج این مطالعه مشخص می‌شود که تغییر مکان ماندگار ناشی از اثر پی- دلتا نقش مهمی در زوال سختی کل سازه دارد ولی همچنان اثر زوال در مصالح نادیده گرفته شده است. رویزگارسیا [۸] به بررسی زلزله‌های متواالی رخ داده در منطقه شمال غربی ایران پرداخت. در این مطالعه زلزله به بزرگی  $6/4$  ریشتر که در منطقه شمال غرب ایران در تاریخ ۱۱ اوت ۲۰۱۲ رخ داده و پس از آن با یک پس لرزه به بزرگی  $4/9$  ریشتر و با فاصله زمانی تنها ۶ دقیقه بعد از زلزله اصلی در نظر گرفته شده است. این نگاشتها در شهر ورزقان ثبت شده است. نتایج این پژوهش نشان داد که تعاریفی که به پیش‌بینی ضربی رفتار و

و پس لرزه با زمان ارتعاش طولانی توصیه شده است. آشهايم و بلک [۲] در مقاله خود با عنوان «تأثیر خسارت ناشی از زلزله اول بر پاسخ سازه با در نظر گرفتن زوال سختی اثرات ناشی از زوال در رفتار مصالح» در نظر گرفت و جمع شدگی را در مدل منظور نمود. تمرکز اصلی در این مقاله بر ارزیابی حداکثر جابه جایی ۲۰۰۰ سیستم یک درجه آزادی با جرم متوجه کرد که در زلزله اول آسیب دیده بودند. در این مقاله مدل رفتاری تاکدا در منحنی هیستوتیک مدل یک درجه آزادی اعمال شد. این مدل رفتاری پدیده جمع شدگی را به خوبی برای در نظر گرفتن زوال سختی و مقاومت اعمال می‌کند. ۸۰ زمین لرزه با محتوای فرکانس، زمان ارتعاش و تأثیر زلزله حوزه دور و نزدیک انتخاب شدند. این مقاله اثرات در نظر گرفتن توالی لرزه‌ای بر پیشنهاد جابه جایی را مورد بررسی قرار داده است. آمادیو و همکاران [۳] به بررسی ضربی رفتار قاب‌های فولادی پرداختند. ایشان با به کارگیری مدل‌های هیستوتیک مختلف مقایسه‌ای بین مدل‌های خسارت دیده و بدون خسارت در زمان وقوع رویدادهای لرزه‌ای متواالی انجام داده و نحوه عملکرد هر یک از مدل‌های عددی را ارزیابی نمودند. نتایج نشان داد که مدل الاستو- پلاستیک کامل، قابل پذیرش ترین مدل تحت زلزله متواالی است. اگرچه با توجه به رفتار واقعی مصالح تحت بار رفت و برگشتی انتظار می‌رود این شبیه‌سازی در صورت در نظر گرفتن مدل‌های سخت‌شونده پس از تسلیم با دقت بیشتری همراه خواهد بود. فراجیو کومو و همکاران [۴] به بررسی پاسخ لرزه‌ای مواردی از قاب‌های فولادی و مقایسه‌ی این پاسخ با پاسخ حاصل از سیستم یک درجه آزادی متناظر با آنها پرداختند و به رابطه بین پاسخ لرزه‌ای این قاب‌ها و سیستم‌های متناظرشان تحت توالی لرزه‌ای دست یافتند. این مطالعه نشان می‌دهد که تکرار و قایع لرزه‌ای متواالی در یک زمان کوتاه، انباستگی خسارت را در سازه ایجاد می‌کند.

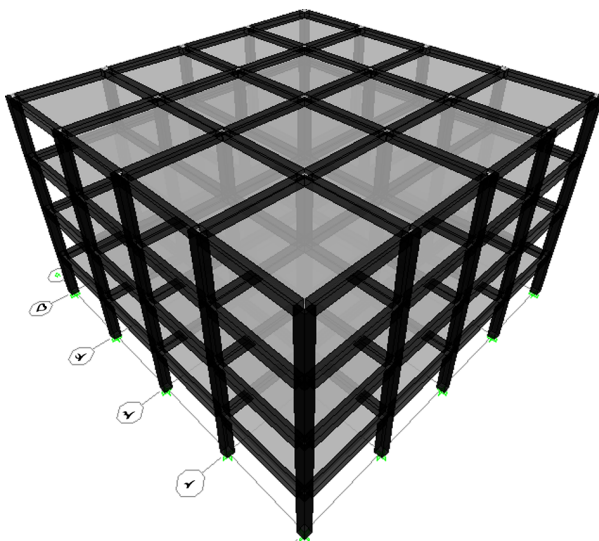
لی و الینگوود [۵] به ارزیابی عملکرد قاب فولادی تحت اثر زلزله متواالی پرداختند. در این مطالعه از روابط ریشت برای تخمین بزرگی پس لرزه بر مبنای زلزله اصلی، برای تولید شتاب نگاشت متواالی استفاده شده است. نتایج مطالعه نمایانگر

حالی که بدون میان قاب باشد بسیار چشم‌گیرتر از زمانی است که میان قاب وجود داشته باشد. راگوناندان و همکاران [۱۲] به بررسی تأثیرات مخرب پس‌لرزه بر چهار قاب بتن مسلح شکل‌پذیر واقع در کالیفرنیا پرداختند. در این پژوهش از تحلیل غیرخطی دینامیکی افزاینده بر این قاب‌ها استفاده شده است. بر اساس نتایج تحلیل دینامیکی افزاینده منحنی شکنندگی مربوط به خرابی قاب‌ها برای سازه سالم و آسیب‌دیده تحت زلزله اصلی ترسیم شده است. نتایج این بررسی نشان داد در صورتی که سازه تحت زلزله اصلی آسیب جدی نیئند، ظرفیت شکست آن تحت پس‌لرزه تغییر قابل ملاحظه‌ای ندارد. در نقطه مقابل اگر آسیب تحت زلزله اصلی زیاد باشد، ظرفیت فروریزش سازه تحت پس‌لرزه به طور قابل ملاحظه‌ای کاهش می‌یابد. به عنوان نمونه از نتایج به دست آمده در این پژوهش اگر سازه تحت زلزله اصلی حدود ۴ درصد جایه‌جایی نسبی را متحمل شود، ظرفیت فروریزش تحت پس‌لرزه حدود ۴۰ درصد کاهش می‌یابد. حسین‌پور و عبدالنبی [۱۳] نشان دادند که جهت زلزله در سازه‌های نامنظم، نامنظمی در سازه و مؤلفه قائم زلزله تأثیرات قابل ملاحظه‌ای در پاسخ سازه تحت زلزله متواالی دارد. همچنین نشان دادند که قطبیت پس‌لرزه می‌تواند به طور قابل ملاحظه‌ای پاسخ سازه‌های نامنظم را تغییر دهد.

## ۲- موضوع و هدف مطالعه

بررسی مطالعات انجام شده نشان می‌دهد اثر توالي رویدادهای لرزه‌ای بر افزایش شکنندگی لرزه‌ای ساختمان‌های بتن‌آرمه در برخی از زمینه‌ها صورت گرفته است؛ اما این فرایند به صورت سناریویی و برای شرایط تعریف شده از قبل انجام نشده و اطلاعات مورد نیاز برای سناریوهای مختلف در دسترس نیست. این اطلاعات برای سامانه‌ای که بلا فاصله پس از یک رویداد نسبتاً شدید لرزه‌ای به ارزیابی سریع یک محدوده مسکونی و ساختمانی مانند یک شهر به منظور پیش‌بینی شرایط آسیب‌ها تحت رویداد لرزه‌ای بعدی می‌پردازد کمک شایانی خواهد نمود. به این ترتیب که با داشتن پیشینه شتاب لرزه‌ای

نسبت جایه‌جایی غیرخطی می‌پردازند نسبت به مقادیری که در این پژوهش به دست آمده بسیار دست پایین تر می‌باشند. آتس و همکاران [۹] به بررسی میدانی خسارات ناشی از زلزله متواالی بر سازه‌های بتن مسلح رخ داده در سال ۲۰۱۱ در شهر وان ترکیه پرداختند. خسارات می‌تواند ناشی از مواردی چون تأثیرات ساختگاه، کیفیت ساخت پایین سازه، مقاومت پایین بتون مصری، عدم اجرای دقیق اتصال تیر به ستون، اجرای تیر قوى-ستون ضعیف، طبقه نرم، میلگرد ناکافی در اعضا، عدم رعایت دقیق زاویه خم در میلگردهای عرضی و ستون کوتاه باشد. شواهد نشان داد که پس‌لرزه‌ها باعث افزایش خرابی سازه‌های آسیب‌دیده در ۱۷ روز پس از زلزله اصلی شده‌اند. نتایج این پژوهش نشان داد که اکثر سازه‌های آسیب‌دیده در این زلزله بر اساس دستورالعمل طراحی ترکیه مورد طراحی و اجرا قرار نگرفته است. هاتزیواسیو و هاتزیجورجیو [۱۰] رفتار سازه‌های سه‌بعدی بتن مسلح را تحت زلزله‌های متواالی مورد بررسی قرار داد. مدل‌های مورد بررسی شامل دو سازه سه‌طبقه و دو سازه ۵ طبقه می‌باشد. در هر دسته یک قاب به صورت منظم و دیگری نامنظم می‌باشد نتایج این پژوهش نشان داد که زلزله‌های متواالی و تأثیرات آن برای نیل به یک طراحی قابل اطمینان در سازه‌های بتن مسلح باید مد نظر قرار بگیرد. تسفامریم و همکاران [۱۱] به مطالعه پارامتریک قاب‌های بتن مسلح شش طبقه تحت زلزله‌های متواالی پرداختند. مدل‌های مورد استفاده این محققین شامل یک قاب بدون میان قاب و چهار قاب با میان قاب‌های بنایی است. مدل‌های با میان قاب شامل دو حالت ضخامت‌های ۷۵ و ۱۲۵ میلی‌متر و همچنین دو حالت چینش میان قاب هستند. قاب‌ها در منطقه با خاک درجه ۳ در ونکوور و به عنوان یک ساختمان اداری با استفاده از آین نامه لرزه‌ای کانادا طراحی شده است. قاب‌ها تحت ۱۰۰ نگاشت زلزله‌های متواالی قرار گرفته‌اند و تا سطح خطر مصادف با زلزله ۲۵۰۰ ساله مقیاس شده است. تحت هر رویداد متواالی، زمان تناوب اصلی سازه و جایه‌جایی نسبی طبقات رصد شده است. نتایج این پژوهش نشان داد که تغییرات زمان تناوب اصلی سازه و همچنین جایه‌جایی نسبی طبقات در



شکل (۱): یک نمونه از مدل سه بعدی اولیه سازه ۴ طبقه.

جدول (۱): موضوع و مشخصات اختیاری مربوط در مدل سازی و طراحی.

مشخصات	موضوع
ویرایش چهارم استاندارد ۲۸۰۰ ایران و مبحث ۶ مقررات ملی ساختمان ایران	ضوابط بارگذاری
مبحث ۹ مقررات ملی ساختمان ایران	طراحی سازه
سازه منظم	شرایط نامنظمی
منطقه با خطر نسبی بسیار زیاد ( $A = ۰/۳۵$ )	لرزه خیزی ساختگاه
نوع خاک نوع دو ( $V_{s30} = ۳۷۵-۷۵۰ \text{ m/s}$ )	خاک ساختگاه
سیستم قاب خمثی بتون آرم ویژه ( $R = ۷/۵$ )	سیستم باربر جانبی
۱۵ کیلوگرم بر سانتی متر مریع	بار مرده طبقات
۲۰۰ کیلوگرم بر سانتی متر مریع	بار زنده

بر اساس نتایج طراحی، مشخصات مقاطع یک قاب از هر مدل در جدول (۲) نمایش داده شده است. نام هر قاب با یک عدد سه رقمی شامل دو رقم اول معرف تعداد طبقه و عدد ۴ به عنوان ویرایش ۴ استاندارد ۲۸۰۰ [۱۴] ایران نمایش داده شده است.

#### ۴- مدل های عددی

به منظور مطالعه عددی مورد نظر سه قاب چهار دهانه به ترتیب ۴، ۸ و ۱۵ طبقه در نظر گرفته شد. شکل (۲) الگوی قاب دو بعدی N طبقه مورد استفاده در این مطالعه را نمایش می دهد.

رویداد اول اطلاعات با دقت مناسب برای برآورد آسیب پذیری لرزه ای احتمالاتی تحت رویدادهای محتمل دوم در اختیار قرار خواهد گرفت. همچنین تفاوت عملکرد ساختمان های با تعداد طبقات مختلف در شرایط ذکر شده مورد مطالعه قرار نگرفته است. با توجه به اینکه ساختمان های موجود در کالبد های شهری در تعداد طبقات مختلف بوده و احتمال تفاوت رفتار لرزه ای آنها در این شرایط زیاد است، این امر نیز بر لزوم انجام مطالعات در تعداد طبقات مختلف را پیش از پیش مشخص می سازد. بر این اساس، هدف از مطالعه ای حاضر توسعه منحنی های شکنندگی لرزه ای مشروط و ارزیابی احتمالاتی عملکرد قاب های خمثی بتن آرم هه آسیب دیده در رویداد لرزه ای فرضی اول در برابر رویداد محتمل دوم است. تأثیر پیشینه شتاب لرزه ای و میزان آسیب در رویداد اول بر شکنندگی لرزه ای ساختمان تحت رویداد دوم مطالعه شده و ابزار شکنندگی به نحوی توسعه داده شده تا در سامانه های ارزیابی سریع ریسک، امکان استفاده از توابع مناسب برای پیش بینی شرایط آسیب در رویداد محتمل و نزدیک بعدی میسر گردد. به این منظور، در این مطالعه فرض می شود ساختمان ها در رویداد لرزه ای اول سطوح مشخصی از رفتار غیر ارجاعی را تجربه نموده و سپس تحت اثر رویداد دوم تحت اثر توالی های لرزه ای قرار خواهند گرفت. ساریوهای مختلف برای پیشینه شتاب رویداد اول در نظر گرفته شده است. ساختمان های مطالعه شده دارای ۴، ۸ و ۱۵ طبقه هستند. از بیست جفت نگاشت لرزه ای متولی به این منظور استفاده شده است.

#### ۳- سازه های مورد مطالعه

همان گونه که ذکر شد اثر ارتفاع در این مطالعه با بررسی رفتار سه ساختمان با ارتفاع ۴، ۸ و ۱۵ طبقه مورد مطالعه قرار گرفته است. یک نمونه از مدل سه بعدی اولیه سازه ۴ طبقه در شکل (۱) نمایش داده شده است.

به منظور طراحی، مدل سازی کاملی به صورت سه بعدی از یک سازه با تعداد ۴ دهانه در هر امتداد صورت گرفته است. مبانی طراحی ساختمان ها در جدول (۱) ارائه شده است.

جدول (۲): مشخصات مقاطع تیر و ستون در قاب‌های ۰۴۴، ۰۸۴ و ۱۵۴.

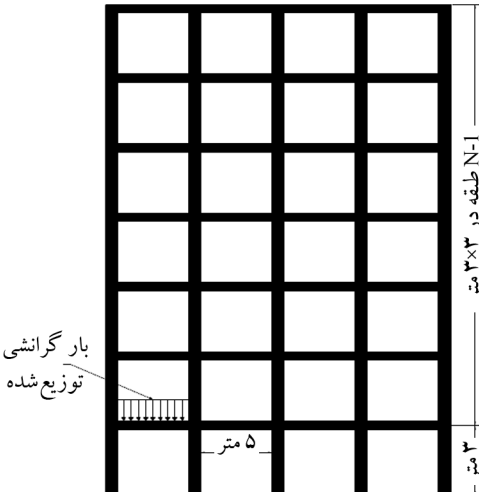
تیر			ستون				
آرماتور عرضی	آرماتور طولی (بالا و پایین)	مقطع	آرماتور عرضی	آرماتور طولی (بالا و پایین)	مقطع	طبقه	قاب
Φ10 @ ۱۲/۵	۴φ۲۰	۳۵×۳۵	Φ10 @ ۱۲/۵	۱۶φ۲۲	۴۵×۴۵	۲-۱	۰۴۴
Φ10 @ ۱۲/۵	۴φ۲۰	۳۵×۳۵	Φ10 @ ۱۲/۵	۸φ۲۲	۳۵×۳۵	۴-۳	
Φ10 @ ۱۵	۳φ۱۶	۳۵×۳۵	Φ10 @ ۱۵	۱۲φ۲۲	۵۰×۵۰	۲-۱	۰۸۴
Φ10 @ ۱۵	۳φ۱۶	۳۵×۳۵	Φ10 @ ۱۵	۸φ۲۰	۴۰×۴۰	۵-۳	
Φ10 @ ۱۵	۳φ۱۶	۳۵×۳۵	Φ10 @ ۱۵	۸φ۱۸	۳۵×۳۵	۸-۶	۱۵۴
Φ10 @ ۱۵	۴φ۲۰	۴۵×۴۵	Φ10 @ ۱۵	۲۰φ۲۴	۶۰×۶۰	۳-۱	
Φ10 @ ۱۵	۴φ۲۰	۴۵×۴۵	Φ10 @ ۱۵	۱۲φ۲۲	۵۰×۵۰	۹-۴	۱۵۴
Φ10 @ ۱۵	۴φ۲۰	۴۵×۴۵	Φ10 @ ۱۵	۱۲φ۲۰	۴۰×۴۰	۱۵-۱۰	

گیردار در نظر گرفته شد. مشخصات مصالح به شرح زیر برای تعریف مشخصات بتن پوشش و هسته و همچنین آرماتورها استفاده شد.

## ۵- مشخصات مصالح

در این مطالعه برای مدل‌سازی بتن محصور هسته از مدل رفتاری پوپویچ با در نظر گرفتن زوال چرخه‌ای سختی اولیه مصالح بر اساس مطالعه کارسان و زیرسا [۱۵] استفاده شد.

بتن محصور هسته و نامحصور پوشش با استفاده از مصالح Concrete04 مدل شدند. این نوع مصالح از مقاومت کششی بتن صرف نظر می‌کند. آرماتورهای طولی با رفتار تنش-کرنش دو خطی و با در نظر گرفتن سخت‌شدگی کرنشی توسط مصالح Steel02 مدل شدند. امکان در نظر گرفتن گسیختگی فولاد در این مصالح وجود ندارد. در این مطالعه در نظر گرفتن آسیب‌های ناشی از وقوع دامنه‌های کرنش زیاد و همچنین حفظ آسیب‌ها طی چرخه‌های ناشی از رویداد اول مهم است؛ بنابراین از مصالح MinMax در کنار مصالح Steel02 استفاده شد تا گسیختگی مصالح فولاد و عدم بازگشت آن به چرخه‌های بار در ادامه بارگذاری در نظر گرفته شود. مقاومت تسلیم فولاد ۴۰۰ مگاپاسکال و شیب بخش سخت‌شدگی کرنشی برابر ۰/۰۱ شیب اولیه فرض شد. برای بتن نامحصور پوشش، مقاومت فشاری ۲۸ مگاپاسکال و کرنش ۰/۰۰۲ تحت تنش حداکثر و کرنش نهایی ۰/۰۰۵ منظور گردید. برای شیب‌سازی رفتار بتن



شکل (۲): الگوی قاب دو بعدی N طبقه مورد استفاده در این مطالعه.

نرم‌افزار OpenSEES برای مدل‌سازی قاب‌های بتن‌آرمه خمشی و سپس تحلیل‌های مورد نظر به کار گرفته شد. مدل المان محدود سازه در نرم‌افزار ایجاد گردید و برای تعریف مشخصات مقطع از المان‌های فایبر استفاده شد. رفتار خمشی اعضاً تیر و ستون به صورت پلاستیسیته توزیع شده در نظر گرفته شد. میرایی کلی سازه برای تحلیل‌ها با مدل رایلی و به میزان ۵ درصد منظور گردید و اثر P-Δ در تحلیل‌ها در نظر گرفته شد. المان تیر-ستون غیرخطی<sup>۳</sup> برای اعضا در نظر گرفته شد. روابط حاکم بر این المان بر مبنای نیرویی و با پلاستیسیته توزیع شده است. هر المان به پنج قسمت انتگرال‌گیری داخلی تقسیم شد. از اندرکش خاک و سازه صرف‌نظر شده پای ستون‌ها در محل پایه بدون امکان دوران و جابه‌جایی و به صورت

جفت نگاشت طبیعی که در رویدادهای لرزه‌ای به صورت متواالی ثبت شده‌اند، استفاده شده است. جدول (۳) مشخصات نگاشت‌های مورد استفاده در این مطالعه را معرفی می‌نماید.

## ۷- تحلیل فراینده غیرخطی

به منظور ارزیابی احتمالاتی عملکرد ساختمان‌ها تحت رویدادهای لرزه‌ای پی در پی، مدل عددی ایجاد شده در نرم‌افزار تحت تحلیل تاریخچه زمانی غیرخطی فراینده قرار می‌گیرد [۱۷]. به این منظور پارامتر بیشینه شتاب زمین به عنوان معیار شدت لرزه‌ای در تحلیل‌ها مورد استفاده قرار گرفت. یک نمونه از دو نگاشت متواالی در شکل (۳) نشان داده شده است. برای در نظر گرفتن فاصله بین رویدادهای مختلف و بازگشت ساختمان به شرایط سکون مدت زمان ۲۰ ثانیه در بین هر دو نگاشت متواالی در نظر گرفته شد.

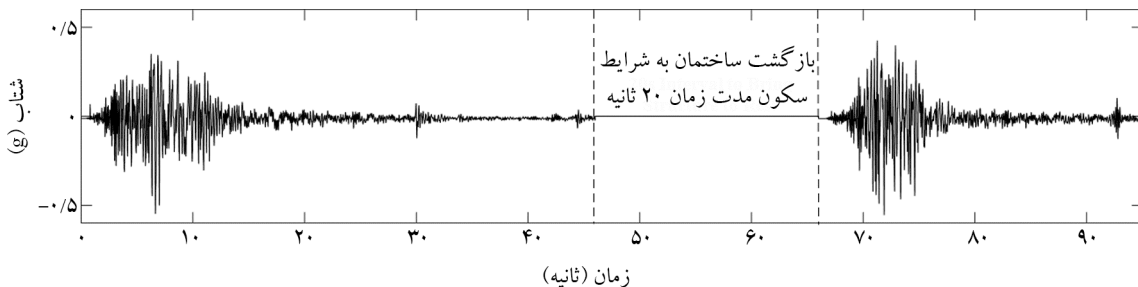
محصور، مدل رفتاری ارائه شده توسط مندر و همکاران [۱۶] به کار رفت. بر اساس این مدل، رفتار بتن محصور به شرایط محصور شدگی مقطع بستگی دارد. مدول الاستیسیته بتن  $E_c$ ، برای بتن با وزن متعارف با استفاده از رابطه  $E_c = 4700\sqrt{f'_c}$  محاسبه شد. در این رابطه  $f'_c$  مقاومت فشاری بتن بر حسب مگاپاسکال است.

## ۶- نگاشت‌های لرزه‌ای رویدادهای متواالی

در تحلیل‌های تاریخچه زمانی برای در نظر گرفتن اثر دو رویداد لرزه‌ای متواالی، در مطالعات دیگر از روش‌های مختلف از جمله: ۱) در نظر گرفتن یک نگاشت به صورت متواالی ۲) در نظر گرفتن نگاشت‌های مصنوعی و ۳) در نظر گرفتن نگاشت‌های متواالی طبیعی استفاده شده است. در این مطالعه از مجموعه ۲۰

جدول (۳) مشخصات نگاشت زلزله‌های مورد استفاده در این مطالعه.

رویداد دوم		رویداد اول		نام رویداد	شماره
تاریخ	PGA (g)	تاریخ	PGA (g)		
۱۹۹۷/۰۴/۰۶	۰/۱۴۴	۱۹۹۷/۰۴/۰۵	۰/۲۷۳	چین: شمال غربی چین	۱
۲۰۱۲/۰۵/۲۹	۰/۲۹۴	۲۰۱۲/۰۵/۲۰	۰/۲۵۹	ایتالیا: Emilia Romagna	۲
۱۹۷۶/۰۹/۱۱	۰/۳۲۸	۱۹۷۶/۰۵/۰۶	۰/۱۹۰	ایتالیا: Friuli	۳
۱۹۹۷/۱۰/۰۶	۰/۵۰۲	۱۹۹۷/۰۹/۲۶	۰/۴۹۱	ایتالیا: Nocera Umbra	۴
۲۰۱۱/۰۴/۱۱	۰/۱۲۷	۲۰۱۱/۰۴/۱۱	۰/۵۰۵	ژاپن: فوکوشیما	۵
۲۰۰۴/۱۰/۲۳	۰/۵۵۳	۲۰۰۴/۱۰/۲۳	۰/۵۴۷	ژاپن: نیگاتا	۶
۱۹۸۰//۰/۲۵	۰/۱۶۱	۱۹۸۰/۰۵/۲۵	۰/۴۱۰	آمریکا: Mammoth Lakes	۷
۱۹۸۵/۰۳/۰۴	۰/۱۹۰	۱۹۸۵/۰۳/۰۳	۰/۷۱۲	شیلی: Valparaiso	۸
۲۰۱۱/۰۶/۱۳	۰/۲۲۲	۲۰۱۱/۰۲/۲۲	۰/۳۳۴	نیوزیلند: Christchurch	۹
۱۹۹۰/۰۵/۱۳	۰/۲۴۸	۱۹۹۰/۰۲/۱۹	۰/۱۹۹	نیوزیلند: Weber	۱۰
۱۹۸۸/۱۲/۰۷	۰/۰۹۸	۱۹۸۸/۱۲/۰۷	۰/۱۹۱	ارمنستان: Spitak	۱۱
۱۹۸۰/۱۱/۲۳	۰/۰۳۳	۱۹۸۰/۱۱/۲۳	۰/۳۱۶	ایتالیا: Irpinia	۱۲
۱۹۹۹/۰۹/۲۵	۰/۱۵۰	۱۹۹۹/۰۹/۲۰	۱/۰۲۶	تایوان: چی- چی	۱۳
۱۹۹۹/۰۳/۲۸	۰/۰۶۴	۱۹۹۹/۰۳/۲۸	۰/۳۵۹	هند: Chamoli	۱۴
۲۰۱۲/۰۸/۱۵	۰/۵۳۱	۲۰۱۲/۰۸/۱۱	۰/۴۲۶	ایران: ورزقان	۱۵
۱۹۸۷/۱۰/۰۴	۰/۲۱۶	۱۹۸۷/۱۰/۰۱	۰/۳۸۱	آمریکا: Whittier Narrows	۱۶
۱۹۹۹/۱۱/۱۲	۰/۲۰۴	۱۹۹۹/۱۱/۱۲	۰/۲۹۳	ترکیه: دوزجه	۱۷
۱۹۸۶/۰۷/۳۱	۰/۴۲۲	۱۹۸۶/۰۷/۲۱	۰/۴۰۲	آمریکا: Chalfant Valley	۱۸
۱۹۸۷/۰۳/۰۲	۰/۱۰۹	۱۹۸۷/۰۳/۰۲	۰/۴۳۶	نیوزیلند: Edgecumbe	۱۹
۱۹۸۶/۰۹/۱۳	۰/۱۵۲	۱۹۸۶/۰۹/۱۳	۰/۲۹۶	یونان: کلاماتا	۲۰



شکل (۳): نمونه نگاشت دو رویداد متواالی (ژاپن، نیکاتا، ۲۰۰۴).

غیرخطی فزاینده و مقدار جابه‌جایی نسبی طبقه به عنوان پارامتر تقاضای مهندسی تعریف و فراگذشت آن از دو معیار یاد شده به عنوان شکست تعريف شده است.

## ۹- نتایج

نتایج حاصل از تحلیل‌ها در این بخش ارائه می‌گردند. نتایج در دو قسمت حاصل تحلیل‌های غیرخطی فزاینده و تحلیل شکنندگی لرزه‌ای را نمایش خواهند داد.

### ۹-۱- تحلیل غیرخطی فزاینده

شکل (۴) نتایج تحلیل دینامیکی فزاینده قاب خمشی ۰۴۴ برای مقیاس زلزله اصلی به ترتیب با بیشینه شتاب  $g = 0/4$ ,  $0/7$  و  $1/0$  را نشان می‌دهد. با توجه به نتایج ارائه شده برای قاب ۴ طبقه طراحی شده با ویرایش چهارم استاندارد ۲۸۰۰، در مواردی که بیشینه شتاب رویداد اول کمتر است میزان آسیب هم کمتر خواهد بود. با توجه به نمودار میانه میزان بیشینه شتاب رویداد دوم برای ایجاد ۵ درصد جابه‌جایی نسبی طبقات و برای بیشینه شتاب  $g = 0/4$ ,  $0/7$  و  $1/0$  از رویداد اول به ترتیب  $g = 2/4$ ,  $2/33$  و  $2/21$  می‌باشد.

### ۹-۲- تحلیل شکنندگی لرزه‌ای

تابع شکنندگی لرزه‌ای یک ساختمان احتمال شکست یا فراگذشت پاسخ مشخصی از سازه (پارامتر تقاضای مهندسی) از حد عملکرد مشخصی (مانند حالت حدی فروریزش) را به ازای مقادیر مختلف شدت لرزه‌ای (مانند بیشینه شتاب زمین) ارائه می‌کند. این تابع از نظر ریاضی در شکل رابطه (۱) عنوان می‌شود:

هدف از این مطالعه به دست آوردن توابع شکنندگی لرزه‌ای برای رویداد دوم به شرط وقوع رویداد اول با بیشینه شتاب معین می‌باشد. این کار با انجام تحلیل غیرخطی فزاینده و به دست آوردن برآورده از پاسخ سازه پس از اثرگیری از رویداد اول انجام می‌شود. به این منظور پاسخ به بیشینه شتاب‌های مختلف در رویداد اول محاسبه شده و سپس سازه تحت اثر رخداد دوم تحلیل غیرخطی فزاینده می‌گردد. سه بیشینه شتاب  $g = 0/4$ ,  $0/6$  و  $0/7$  برای نگاشتهای لرزه‌ای اول در نظر گرفته شد. برای هر مدل در هر توالی پس از اعمال نگاشت اول با بیشینه شتاب‌های یاد شده، تحلیل غیرخطی فزاینده تحت نگاشت لرزه‌ای دوم انجام می‌شود و تا زمان رسیدن به میزان تقاضای معیار فروریزش ادامه پیدا می‌کند. به این ترتیب با تحلیل آماری نتایج عددی به دست آمده تابع شکنندگی لرزه‌ای (مشروط به رویداد اول با بیشینه شتاب تعريف شده) محاسبه می‌گردد. مقدار میانه بیشینه شتاب‌های منجر به فروریزش در رویداد دوم نیز در این مطالعه به عنوان پارامتری برای بررسی و ارزیابی قاب‌ها با سه ارتفاع مختلف مورد استفاده قرار می‌گیرد.

## ۸- معیار شکست (حالت حدی)

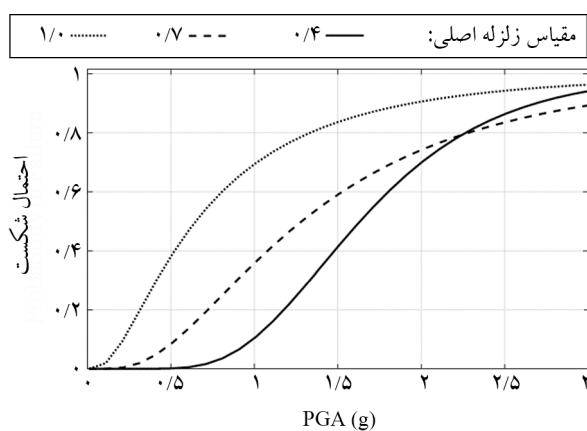
معیارهای پذیرش مورد نظر در این مطالعه بر اساس مندرجات دستورالعمل ۱۸-ASCE 4-13 [۱۸] و نشریه شماره ۳۶۰ سازمان برنامه و بودجه [۱۹] انتخاب شده است. در این نشریات مقدار جابه‌جایی نسبی طبقه برای دو حالت حدی اینمنی جانی و آستانه فروریزش به ترتیب برابر با ۲ و ۴ درصد است (ASCE 4-13 و نشریه ۳۶۰ سازمان برنامه و بودجه). بر این اساس در بررسی نتایج تحلیل‌های

در این رابطه (۲) و C به ترتیب مقدار تقاضا و ظرفیت سازه هستند. برای توصیفتابع شکنندگی لرزه‌ای معمولاً از تابع توزیع احتمال تجمعی نرمال یا لوگ-نرمال استفاده می‌شود؛ بنابراین بر اساس برآورد میزان پراکندگی ناشی از عدم قطعیت‌ها، تابع شکنندگی لرزه‌ای به صورت رابطه (۳) قابل برآورد است:

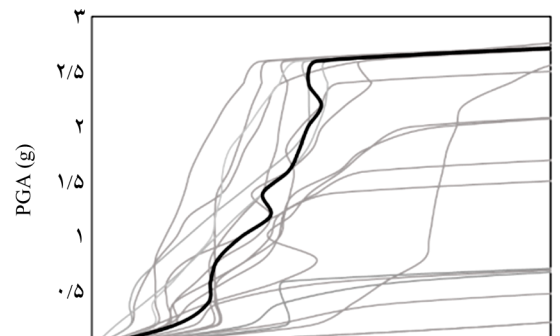
$$P(C/IM = x) = \Phi\left(\frac{\ln x - \mu}{\beta}\right) \quad (3)$$

در این رابطه  $P(C/IM = x)$  عبارت است از اینکه احتمال وقوع زلزله‌ای با شدت  $x = IM$  باعث فرآگذشت مدل از حالت حدی C شود و  $\Phi$  تابع توزیع احتمال تجمعی لوگ-نرمال  $\ln$  میانگین نتایج و  $\beta$  انحراف معیار لگاریتم طبیعی IM است. با توجه به اینکه ساختمان پیش از تحلیل فراینده تحت هر نگاشت دوم، تحت رویداد اول با شدت مشخصی تحریک و تحلیل می‌شود، تابع توابع شکنندگی حاصل در واقع «تابع شکنندگی لرزه‌ای مشروط» به تجربه نگاشت اول توسط مدل هستند.

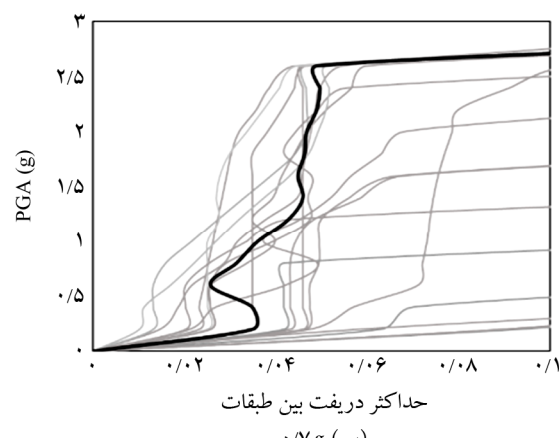
شکل (۵) نمودار شکنندگی قاب ۰۴۴ را تحت دو رویداد متواالی برای پیشینه شتاب رویداد اول برابر  $0.4g$ ،  $0.7g$  و  $1.0g$  نشان می‌دهد. روند پاسخ قاب‌های با ارتفاع مختلف به ترتیب با مقایسه شکل (۵) با شکل‌های (۶) و (۷) دیگر قابل بررسی و ارزیابی است. شکل (۵) شکنندگی لرزه‌ای قاب ۸ طبقه و شکل (۶) نیز شکنندگی لرزه‌ای قاب ۱۵ طبقه را در اثر رویداد دوم به شرط رویداد اول با پیشینه شتاب‌های مختلف  $0.4g$ ،  $0.7g$  و  $1.0g$  نشان می‌دهند.



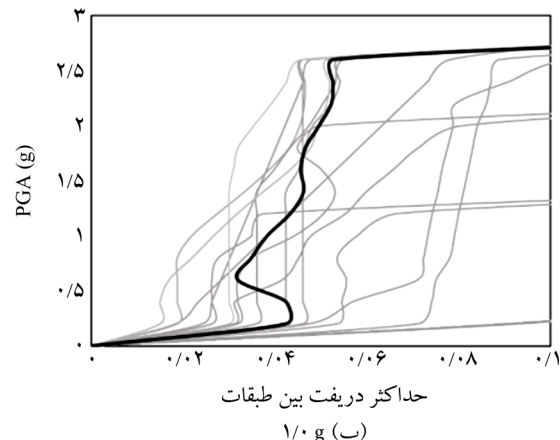
شکل (۵): نمودار شکنندگی قاب خمی ۰۴۴ تحت زلزله متواالی برای مقیاس رویداد اول  $0.4g$ ،  $0.7g$  و  $1.0g$ .



حداکثر دریفت بین طبقات  
الف)  $0.4g$



حداکثر دریفت بین طبقات  
ب)  $0.7g$



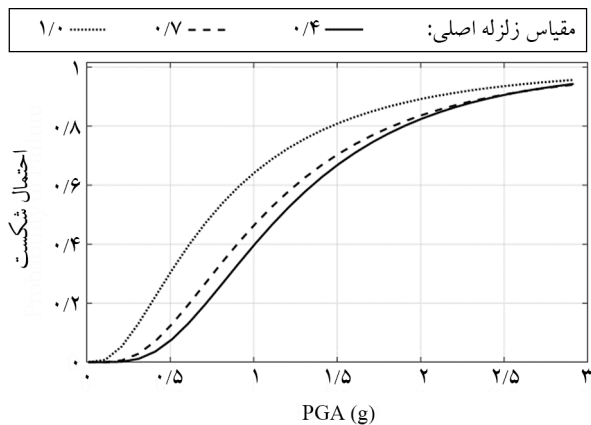
حداکثر دریفت بین طبقات  
پ)  $1.0g$

شکل (۶): نتایج تحلیل دینامیکی افزاینده قاب خمی ۰۴۴ برای مقیاس زلزله اصلی.

$$\text{Fragility} = P[LS | IM = y] \quad (1)$$

در این رابطه LS و IM به ترتیب نشانگر حالت حدی و شدت لرزه‌ای هستند. در این شرایط، احتمال شکست به صورت رابطه (۲) معرفی می‌گردد:

$$p_f = P\left[\frac{D}{C} \geq 1\right] \quad (2)$$



شکل (۵): نمودار شکنندگی قاب خمی ۱۵ طبقه تحت زلزله متواالی برای مقیاس رویداد اول  $g = 0.4$ ,  $0.7$  و  $1.0$ .

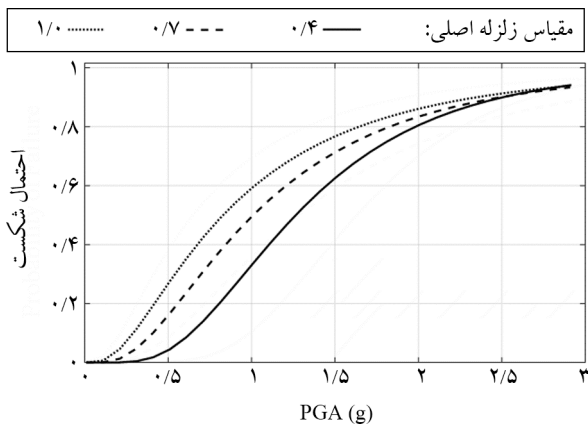
بیشینه شتاب رویداد اول  $g = 0.4$  بوده است، برابر  $0.4$  و زمانی که بیشینه شتاب رویداد اول  $g = 1.0$  بوده است، برابر  $0.63$  می‌باشد. جدول (۴) به صورت نمونه احتمال آسیب قاب‌های خمی  $4$ ,  $8$  و  $15$  طبقه را در حالتی که بیشینه شتاب رویداد دوم  $g = 0.5$  باشد ارائه کرده است. همان‌گونه که مشاهده می‌شود در قاب  $4$  طبقه، در شرایطی که بیشینه شتاب رویداد اول برابر  $g = 0.4$  است مقدار شکنندگی لرزه‌ای صفر ثبت شده اما با افزایش بیشینه شتاب به  $g = 1.0$  شکنندگی لرزه‌ای  $40$  درصد خواهد بود. این شدت اثر در ساختمان‌های  $15$  و  $8$  طبقه به ترتیب کمتر است.

جدول (۴): احتمال خرابی قاب‌های خمی تحت زلزله متواالی، بیشینه شتاب رویداد اول  $g = 0.5$  است.

احتمال شکست (درصد)			بیشینه شتاب رویداد اول
۱۵ طبقه	۸ طبقه	۴ طبقه	
۸	۵	۰	$0.4\text{ g}$
۱۰	۱۵	۹	$0.7\text{ g}$
۳۰	۱۷	۴۰	$1.0\text{ g}$

میانه و انحراف معیار دو پارامتر مهم برای برآورد توابع شکنندگی لرزه‌ای هستند. این دو پارامتر برای سه قاب در سه ارتفاع مختلف به ازای شتاب رویداد اول  $\text{PGA}_1$  محاسبه و در جدول (۵) نمایش داده شده است.

برای ارزیابی اینکه بیشینه شتاب رویداد لرزه‌ای دوم به چه شکل باعث رسیدن پاسخ به حالت حدی شکست فروریزش می‌گردد،



شکل (۶): نمودار شکنندگی قاب خمی  $0.84$  تحت زلزله متواالی برای مقیاس رویداد اول  $g = 0.4$ ,  $0.7$  و  $1.0$ .

در شکل (۵) منحنی‌های شکنندگی قاب خمی  $4$  طبقه مشاهده می‌شود. در هر نمودار مقادیر شکنندگی در شرایطی که سازه تحت رویداد اول با سه بیشینه شتاب  $g = 0.4$ ,  $0.7$  و  $1.0$  باشد. قرار گرفته محاسبه شده‌اند. با توجه به نمودارها مقدار افزایش احتمال شکست در رویداد دوم بر اساس بیشینه شتاب رویداد اول مشخص شده است. برای مثال احتمال خرابی قاب برای بیشینه شتاب  $g = 1.0$  از رویداد دوم زمانی که بیشینه شتاب رویداد اول  $g = 0.4$  بوده است، برابر  $0.09$  و زمانی که بیشینه شتاب رویداد اول  $g = 1.0$  بوده است، برابر  $0.68$  می‌باشد.

در شکل (۶) منحنی شکنندگی قاب خمی  $8$  طبقه برای سه مقدار بیشینه شتاب رویداد اول رسم شده‌اند. نمودارها نشان می‌دهند احتمال خرابی قاب برای بیشینه شتاب  $g = 1.0$  از رویداد دوم زمانی که بیشینه شتاب رویداد اول  $g = 0.4$  بوده است، برابر  $0.33$  و زمانی که بیشینه شتاب رویداد اول  $g = 1.0$  بوده است، برابر  $0.59$  می‌باشد.

در شکل (۷) منحنی شکنندگی قاب خمی  $15$  طبقه نمایش داده شده است. در این نمودار نیز منحنی شکنندگی برای قابی که تحت نگاشتش اول با بیشینه شتاب‌های لرزه‌ای  $g = 0.4$ ,  $0.7$  و  $1.0$  قرار گرفته منحنی شکنندگی تحت رویداد دوم رسم شده است. با توجه به نمودارها مشاهده می‌شود که منحنی شکنندگی در اثر رویداد لرزه‌ای اول به بیشینه شتاب‌های مختلف به چه میزان تغییر داشته افزایش یافته است. برای مثال احتمال فراگذشت از حالت حدی برای بیشینه شتاب  $g = 1.0$  از رویداد دوم زمانی که

با توجه به نمودارهای فوق مشاهده می‌شود که با افزایش بیشینه شتاب رویداد اول میزان کاهش میانه‌ی بیشینه شتاب رویداد دوم در حالت شکست کامل هر قاب قابل مشاهده است. همچنین در قاب‌های در سه ارتفاع نتایج محاسبه شده برای پارامتر MAIC در محدوده بیشینه شتاب لرزه‌ای رویداد اول تا  $0.7\text{ g}$ ، نسبتاً نزدیک به هم است. در حالی که این نتایج برای مقادیر بیشتر از بیشینه شتاب لرزه‌ای رویداد اول کاهش قابل توجهی دارد.

## ۱۰- جمع‌بندی

وقوع لرزه‌های متوالی از رویدادهای با احتمال زیاد در مناطق با خطر نسبی زیاد و بسیار زیاد در کشور است که در سال‌های گذشته تجربه‌های متعدد آن وجود دارد. این رویدادهای با فاصله‌ی زمانی کم امکان بازگشت سختی و مقاومت کاهش یافته به شرایط اولیه را از کاربران گرفته و احتمال فروریزش ساختمان را افزایش دهنده. اطلاع از وضعیت ساختمان‌ها با تعداد طبقات مختلف در این زمینه در سامانه‌های ارزیابی سریع آسیب‌پذیری با اهمیت خواهد بود. در این مطالعه سه ساختمان ۴، ۸ و ۱۵ طبقه بتن آرمه قاب خمی ویژه در بر اساس ضوابط استاندارد ۲۸۰۰ ایران طراحی و در شرایط رویدادهای متوالی لرزه‌ای تحلیل گشتند.

- توابع شکنندگی لرزه‌ای مشروط برای سه ساختمان ۴، ۸ و ۱۵ طبقه محاسبه شدند.

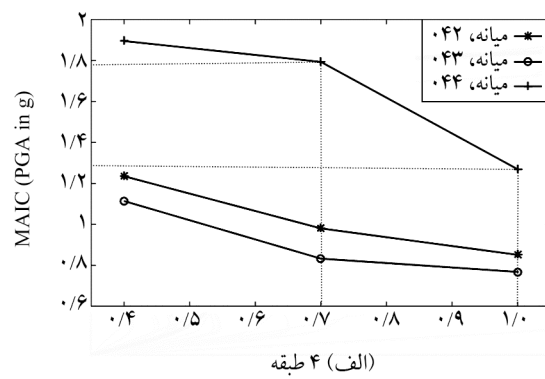
- نتایج نشان داد احتمال مشروط شکست تحت یک توالی لرزه‌ای با افزایش بیشینه شتاب لرزه‌ای اول افزایش می‌یابد و مقدار این تغییر در مطالعات نشان داده شد. این امر کمک می‌کند تا در صورت وقوع یک زلزله، یک سامانه برآورد آسیب با در اختیار داشتن تابع شکنندگی مشروط برای رویداد دوم به ارزیابی دقیق‌تر وضعیت محتمل بعدی پردازد.

- مقدار کاهش پارامتر میانگین در تابع شکنندگی لرزه‌ای در اثر افزایش PGA زلزله اول در قاب ۴ طبقه (از  $1.89\text{ g}$  به  $1.27\text{ g}$ ) بیشتر از کاهش پارامتر مشابه در ساختمان ۱۵ طبقه (از  $1.69\text{ g}$  به  $1.50\text{ g}$ ) به دست آمد.

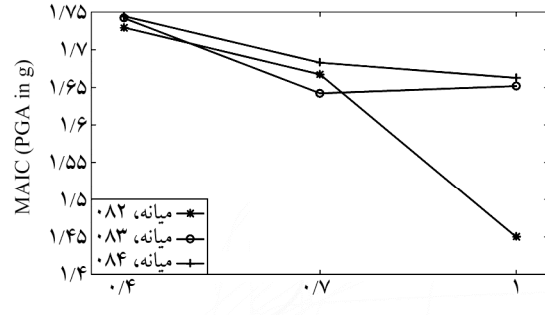
پارامتر میانه شدت لرزه دوم منتج به شکست که با نشانه MAIC در شکل‌ها نشان داده شده محاسبه شد. این پارامتر برای سه حالت رویداد اول به دست آمد. شکل (۸) این موارد را در سه قاب مورد نظر نمایش می‌دهد.

جدول (۵): میانه و انحراف معیار شکنندگی لرزه‌ای برای سه قاب در سه ارتفاع مختلف به ازای مقادیر مختلف بیشینه شتاب رویداد اول  $\text{PGA}_1$

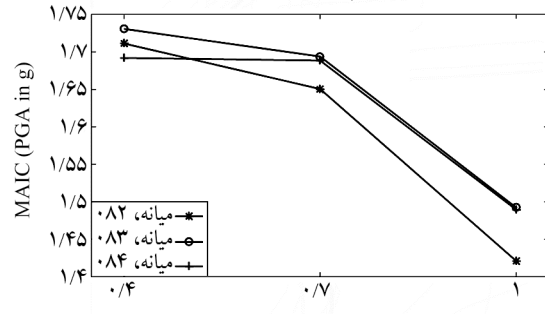
$\text{PGA}_1 = 1.0\text{ g}$		$\text{PGA}_1 = 0.7\text{ g}$		$\text{PGA}_1 = 0.4\text{ g}$		
$\beta$	$\mu$	$\beta$	$\mu$	$\beta$	$\mu$	
۱/۰۴	۱/۲۷	۰/۹۲	۱/۷۹	۰/۸۱	۱/۸۹	۴ طبقه
۱/۱۱	۱/۶۶	۱/۰۱	۱/۶۹	۰/۹۴	۱/۷۵	۸ طبقه
۱/۰۶	۱/۵۰	۱/۰۳	۱/۶۹	۰/۹۶	۱/۶۹	۱۵ طبقه



(الف) ۴ طبقه



(ب) ۸ طبقه

سطح شدت زلزله اصلی ( $\text{g}$ )

(پ) ۱۵ طبقه

شکل (۸): مقایسه میانه نتایج حاصل تحت زلزله متوالی برای قاب خمی.

5. Li, Q. and Ellingwood, B. (2007) Performance evaluation and damage assessment of steel frame buildings under main shock-aftershock earthquake sequences. *J. Earthquake Engineering and Structural Dynamics*, **36**, 405-427, retrieved from: <https://www.sciencedirect.com/science/article/pii/S0267726115000287>.
6. Hatzigeorgiou, G.D. and Beskos, D.E. (2009) Inelastic displacement ratios for SDOF structures subjected to repeated earthquakes. *Engineering Structures*, **31**(11), 2744-2755. Retrieved from: <https://www.sciencedirect.com/science/article/pii/S0141029609002284>.
7. Hatzigeorgiou, G.D. (2010) Behavior factors for nonlinear structures subjected to multiple near-fault earthquakes. *Computers and Structures*. **88**, 309-321. Retrieved from: <https://www.sciencedirect.com/science/article/abs/pii/S004579490900279X>.
8. Ruiz-García, J. (2012) Mainshock-aftershock ground motion features and their influence in building's seismic response. *Journal of Earthquake Engineering*, **16**(5), 719-737. Retrieved from: <https://www.tandfonline.com/doi/full/10.1080/13632469.2012.663154>.
9. Ates, S., Kahya, V., Yurdakul, M., and Adanur, S. (2013) Damages on reinforced concrete buildings due to consecutive earthquakes in Van. *Soil Dynamics and Earthquake Engineering*, **53**, 109-118, Retrieved from: <https://www.sciencedirect.com/science/article/pii/S0267726113001395>.
10. Hatzivassiliou, M. and Hatzigeorgiou, G.D. (2015) Seismic sequence effects on three-dimensional reinforced concrete buildings. *Soil Dynamics and Earthquake Engineering*, **72**, Retrieved from: 77-88. <https://www.sciencedirect.com/science/article/pii/S0267726115000287>.
11. Tesfamariam, S., Goda, K., and Mondal, G. (2015) Seismic vulnerability of reinforced concrete frame with unreinforced masonry infill due to main shock–aftershock earthquake sequences. *Earthquake Spectra*, **31**(3), 1427-1449. Retrieved from: <https://earthquakespectra.org/doi/abs/10.1193/042313EQS111M>.
12. Raghunandan, M., Liel, A.B., and Luco, N. (2015) Aftershock collapse vulnerability assessment of

- با افزایش تعداد طبقات از ۴ به ۸ و ۱۵، مشاهده شد پارامتر معرف پراکندگی مقادیر شکنندگی لزهای،  $\beta$ ، در هر سه سناریوی بیشینه شتاب لزهای (به جز قاب ۸ طبقه تحت شدت  $PGA = 1/0\text{ g}$  (هر چند محدود) افزایش می‌یابد.

- پارامتر MIAC در این مطالعه به عنوان شاخصی برای ارزیابی افزایش آسیب‌پذیری سازه در اثر تجربه‌ی رویداد لزهای اول برای ساختمان‌های با سه ارتفاع مختلف معرفی شد و مقدار تغییر آن در توالی لزهای محاسبه و ارائه گردید.

## تشکر و قدردانی

مطالعه انجام شده در این مقاله در پژوهشگاه بین‌المللی زلزله‌شناسی و مهندسی زلزله و با حمایت بنیاد ملی حمایت از پژوهشگران و فناوران و تحت گرنست پژوهشی به شماره ۹۶۰۰۵۵۲۵ انجام شده است.

## مراجع

1. Mahin, S.A. (1980) Effects of duration and aftershocks on inelastic design earthquakes. Proceedings of the 7<sup>th</sup> World Conference on Earthquake Engineering, **5**, 677-680. Retrieved from: [https://www.academia.edu/22767890/Effects\\_of\\_multiple\\_earthquakes\\_on\\_inelastic\\_structural\\_response](https://www.academia.edu/22767890/Effects_of_multiple_earthquakes_on_inelastic_structural_response).
2. Aschheim, M. and Black, E. (1999) Effects of prior earthquake damage on response of simple stiffness-degrading structures. *J. Engineering Spectra*, **15**(1), 1-24. <https://earthquakespectra.org/doi/abs/10.1193/1.1586026>.
3. Amadio, C., Fragiacomo, M., and Rajgelj, S. (2003) The effects of repeated earthquake ground motions on the nonlinear response of SDOF systems. *Earthquake Engineering and Structural Dynamics*, **32**(2), 291-308.
4. Fragiacomo, M., Amadio, C., and Macorini, L. (2004) Seismic response of steel frames under repeated earthquake ground motions. *Engineering Structures*, **26**(13), 2021-2035. Retrieved from: <https://www.sciencedirect.com/science/article/pii/S0141029604002639>.

reinforced concrete frame structures. *Earthquake Engineering & Structural Dynamics*, **44**(3), 419-439. Retrieved from: <https://onlinelibrary.wiley.com/doi/abs/10.1002/eqe.2478>.

13. Hosseinpour, F. and Abdelnaby, A.E. (2017) Effect of different aspects of multiple earthquakes on the nonlinear behavior of RC structures. *Soil Dynamics and Earthquake Engineering*, **92**, 706-725. Retrieved from: <https://www.sciencedirect.com/science/article/pii/S0267726116304778>.
14. Standard No. 2800 (2005) *Iranian Code of Practice for Seismic Resistant Design of Buildings*. Third Revision, Building and Housing Research Center, Tehran. Retrieved from: [http://iisec.kenken.go.jp/worldlist/26\\_Iran/Iran%20National%20Seismic%20Code\\_2007\\_3rd%20Version\\_English.pdf](http://iisec.kenken.go.jp/worldlist/26_Iran/Iran%20National%20Seismic%20Code_2007_3rd%20Version_English.pdf).
15. Karsan, I.D. and Jirsa, J.O. (1969) Behavior of concrete under compressive loading. *Journal of the Structural Division. Proceeding of the American Society of Civil Engineers*, **95**(ST12), 2543-2563.
16. Mander, J.B., Priestley, M.J., and Park, R. (1988) Theoretical stress-strain model for confined concrete. *Journal of structural engineering*, **114**(8), 1804-1826.
17. Vamvatsikos, D. and Cornell, C.A. (2002) Incremental dynamic analysis. *Earthquake Engineering and Structural Dynamics*, **31**(3), 491-514.
18. ASCE (2013) *ASCE/SEI 41-13: Seismic Evaluation and Retrofit of Existing Buildings*. Reston, Virginia: American Society of Civil Engineers.
19. PBO Planning and Management Organization of Iran (2007) *Iranian Instruction for Seismic Rehabilitation of Existing Buildings (Publication No. 360)*. Management and Planning Organization of Iran.

### واژه‌نامه

- ۱- مانگوا  
Managua
- ۲- پیشینه شتاب زمین Peak Ground Acceleration (PGA)
- ۳- المان تیر - ستون غیرخطی Nonlinear Beam-Column Elements

## The Expected Seismic Fragility of Code-Conforming RC Moment Resisting Frames under Twin Seismic Events

Afshin Kalantari<sup>1\*</sup> and Hamed Roohbakhsh<sup>2</sup>

1. Associate Professor, Structural Engineering Research Center, International Institute of Earthquake Engineering and Seismology (IIEES), Tehran, Iran, \*Corresponding Author, email: a.kalantari@iiees.ac.ir  
2. Ph.D. Candidate, International Institute of Earthquake Engineering and Seismology (IIEES), Tehran, Iran

After each intense mainshock, a series of aftershocks typically occur, which can have a detrimental impact on already-damaged buildings. When buildings have already lost some of their structural integrity during the main shock, the occurrence of aftershocks can lead to complete failure. The height of buildings is a critical parameter that directly influences their seismic behavior during an earthquake. In this research paper, the effect of building height on the seismic behavior of reinforced concrete (RC) moment frames is evaluated under twin earthquake events. To conduct this study, three RC moment resisting frames are designed with varying heights: 4, 8, and 15 stories. The structural design procedures are conducted based on the latest version of the Iranian Code for Seismic Construction of Buildings, known as Standard No. 2800 (STD 2800). By modeling these frames in the OpenSEES software, their seismic behavior is evaluated using conditional fragility curves, specifically considering the damages inflicted by the mainshock. To simulate real-world scenarios, the frames are subjected to 20 actual twin earthquake events. The maximum inter-storey drift, a commonly used damage index, was considered during the evaluation process. The criteria for collapse damage limit states were derived from the Iranian Instruction on Seismic Rehabilitation of Existing Buildings, PBO Publication No. 360. By comparing the increase in probability of failure at conditional fragilities for frames of different heights, the impact of the mainshock on the likelihood of failure due to aftershocks is discerned. Findings indicated that the probability of failure due to aftershocks substantially increases with the intensity of the mainshock. Furthermore, this increase is particularly pronounced in buildings with more stories. The research demonstrates that taller buildings face a higher risk of failure when subjected to aftershocks following an intense mainshock. The additional height amplifies the vulnerability of the structure, potentially compromising its seismic resistance. This phenomenon highlights the importance of considering building height as a critical factor in seismic design and risk assessment. The study also emphasizes the significance of adhering to seismic construction codes, such as STD 2800, which provide guidelines and regulations to mitigate the impact of earthquakes on buildings. Compliance with these codes ensures that structures are designed to withstand seismic forces and reduce the risk of damage or collapse. The findings from this research can inform engineers, architects, and policymakers involved in seismic design and urban planning. They provide valuable insights into the behavior of RC moment frames under twin earthquake events, allowing for more informed decisions regarding building design, risk assessment, and the implementation of appropriate mitigation measures. It is crucial to continue advancing our understanding of the complex interactions between seismic events, building characteristics, and structural behavior. By conducting further research and refining these models, the resilience of structures can enhance, the risk to human life is minimized, and resulted to the development of more robust and safer communities in earthquake-prone regions. In conclusion, this study investigates the impact of building height on the seismic behavior of RC moment frames under twin earthquake events. The results underscore the heightened vulnerability of taller buildings to aftershocks following an intense mainshock. The research highlights the importance of adhering to seismic construction codes and offers valuable insights for professionals involved in seismic design and urban planning.

**Keywords:** Seismic Sequence Event, Nonlinear Dynamic Analysis, RC Buildings, Conditional Fragility Curve.